

信州大学工学部 正員 奥谷義

1. まえがき

等時間原則配分問題を取り扱う場合、しばしばリンク容量の制約が存在しなかつたり、容量前後で無限大となる非現実的な走行時間関数を採用したりしていふが、これらはいずれも実際的ではない。これに対して、交通状態を渋滞領域まで広げて考えると、現実との対応で説明のし易い配分パターンが得られるこことを筆者らは先に発表している。本研究においては、この渋滞領域を考慮した等時間原則配分理論について、基礎的な問題を整理するとともに、若干の新たな考察を付加する。

2. 等時間原則配分の数理計画問題

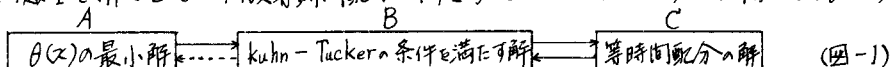
等時間配分パターンは、次のような数理計画問題を解くことによって得られるこことは周知である。

$$(1) \quad \theta(x) = \sum_{j=1}^m \int_{x_j}^{\sum_{k=1}^{n^j} r_{kj}^i x_k^i} f_j(x) dx \rightarrow \min$$

$$\sum_{k=1}^{n^i} x_k^i - S^i = 0 \quad (i=1 \sim N) \quad (2) \quad x \geq 0 \quad (3)$$

但し、 N : ODペア数、 S^i : ODLの交通量、 n^i : ODLの経路数、 x_k^i : ODLの経路 k の交通量
 m : リンク数、 X_j : リンク j の交通量、 $f_j(x_j)$: リンク j の走行時間関数、 r_{kj}^i : ODLの経路 k がリンク j を含むとき1、含まないとき0となる変数、 C_j : リンク容量

この主問題1を解くことが何故等時間配分の解を与えるかは次のような関係があるからである。



ここで、BならばAの関係が点線によっていふのは、 $\theta(x)$ が凸関数ならば成立するが、そうでなければ成立しないことを表わそうとしたためである。B \Rightarrow Cは $\theta(x)$ の性質如何に拘わらず成立。図-1で注意すべきことは、我々が必要とする解は Kuhn-Tucker の条件を満たす解であって、 $\theta(x)$ の最小解そのものではないということである。この点が、等時間配分パターンを求める問題と、いわゆる普通の数理計画問題との大きな相違点である。たとえば、いま目標関数 $F(x)$ が絶対効用で、それを最小にする数理計画問題を考えたとき、我々が得たいのは $F(x)$ の最小解そのものである。Kuhn-Tucker の条件を満たす解ではない。なぜならば、 $F(x)$ が凸でない場合には、後者の解が最小解を与える保証がないからである。しかしながら、等時間配分問題では C の解を得ることが最終目的であり、また B \rightarrow C の関係は $\theta(x)$ が凸であると否とにかかわらず成立するので、我々は B の解を求めれば、それで必要にして十分といふことなのである。

次に、渋滞領域を考慮した問題の特徴を明らかにするために、図-2に示した簡単な例について考えてみよう。(例1) $f_j(x_j) = a_j x_j + b_j$ (4) としたとき、 $a_1 = 0.04(-0.09)$, $b_1 = 35(235)$
 $a_2 = 0.01(-0.08)$, $b_2 = 20(110)$ 但し () 内は渋滞領域での値、このとき、リンク1, 2 の容量 C_1, C_2 は $C_1 = 1500, C_2 = 1000$ となる。また、 $S = 1425$ とする。
 さて、いまリンク2に容量いっぱいに交通を配分してみる。このとき $f_2(1000) < f_1(0)$ であるから

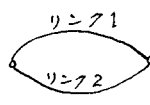


図-2

リンク2はまだ魅力的である。したがって、リンク2はついに渋滞領域に陥り、 $x_1=975$, $x_2=450$ (渋滞)で走行時間が等しくなり、等時間配分パターンが得られる。つまり、リンク2が渋滞領域にある状態で均衡解が得られるということである。さて、この例の場合、ルートは2本しかないので、 $x_1=1425-x_2$ (5)となり、 $\theta(x_2)=-0.02(x_2-450)^2+94537.5$ (6)のように書ける。

これをグラフに書くと図-3のようになる。これをみればわかるように、上記の解は主問題1とは別の関係もない点2(最大解)に対応しており、逆に主問題1の解である最小解 $x_2=1425$ は、 $f_2(1425)=-4$ (7)となることから全く意味がない解であるといえる。尚、ついでながら示しておくと、点1は $x_1=1425$, $x_2=0$ (渋滞)であり、一応等時間パターンを与えるが、 $x_2=0$ (渋滞)となつていうことは意味がない。また、点3は、主問題1に容量制約条件を付加した問題を主問題2としたとき、その主問題2の解であり、非渋滞領域のみを考えた主問題2の解とも一致する。従来からよく行われている、容量前後で無限大となる走行時間実数を用いた配分は、この主問題2の近似解を与えるのであるが、それは等時間配分パターンとは無縁のものであることに注意が必要である。さて、このようなことから、我々は次のようだことがわかる。可ならず、渋滞領域まで考慮の対象を広げて等時間原則配分を考えるときには、主問題1の数理計画問題を扱うことは不都合であるといふことである。これは、一般に $H \rightarrow G$ という仮説は、 H であっても G でないのに、たとえば H を挙げるにより誤りであることが証明されるという数学的常識により、容易に理解できるであろう。

3. 双対問題とその性質

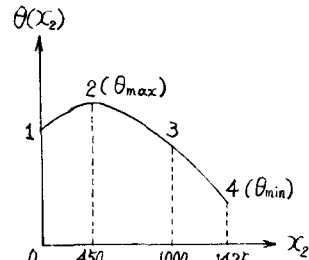
上で述べた不都合をなくすためにには、我々は図-3の点2の解を解としてもうよう主問題1とは別に数理計画問題を考える必要がある。ここでは、そのためには主問題1の双対問題を採り挙げてみる。

$$(双対問題1) \quad \psi(x, u) = \theta(x) + u^T f(x) \rightarrow \max \quad (8)$$

$$\nabla \theta(x) + u^T \nabla f(x) = 0 \quad (9) \quad u \geq 0 \quad (10)$$

ここで、 $\theta(x)$ は式(2), (3)の制約条件をまとめた $\theta(x) \leq 0$ のように書いたときのベクトル実数、 u は $u = (u_1, u_2, \dots, u_n, u'_1, u'_2, \dots, u'_{n'}, u''_1, u''_2, \dots, u''_{n''})$ であるとする。さて式(9)より
 $\sum_{j=1}^m u_j^i f_j(x_j) \geq u^i (= x^i - \bar{x}_j)$ (11) また、式(8)は $\psi(x, u) = \theta(x) + \sum_{i=1}^n u_i^i S^i - \sum_{i=1}^n \sum_{k=1}^{n_i} \sum_{j=1}^{m_i} u_j^i f_j(x_j)$ (12) となる。いま $f_j(x_j)$ を図-4のように非渋滞、渋滞領域ともに凸関数で与えて $f_j(x_j)$

おくものとすれば、式(11)は逆凸制約を満たすことから、 $\psi(x, u)$ ($= \psi(x, \lambda)$) の凸性、非凸性のいかんに拘らず、その極大解は双対問題1の Kuhn-Tucker の条件を満す。すなれば、 $\sum_{j=1}^m u_j^i \left\{ \frac{\partial f_j(x_j)}{\partial x_j} \right\} (\bar{x}_j - x_j) = 0$ (13) 但し、 $V_j = \sum_{i=1}^n \sum_{k=1}^{n_i} u_k^i V_k^i$ (14)
 $\sum_{k=1}^{n_i} V_k^i = S^i$ (15) $V_k^i (\bar{x}_j - \sum_{j=1}^m u_j^i f_j(\bar{x}_j)) = 0$ (16) $V_k^i \geq 0$ (17) なる $V_k^i > 0$
存在する。式(13)において、各リンク両端のルートの当該リンクのみの経路を考える図-4 走行時間実数と $\frac{\partial f_j(x_j)}{\partial x_j} (\bar{x}_j - x_j) = 0$ (18) となり、 $\frac{\partial f_j(x_j)}{\partial x_j} \neq 0$ (19) から $\bar{x}_j = \bar{x}_j$ (20) となる。式(20)を式(16)に代入すると、ラグランジン乗数 \bar{V}_k^i は等時間配分パターンを与えることわかる。すなれば式(20)から、極大解 \bar{x}_j は等時間配分パターンを与えることわかる。上記例の解はこの方法で求まる。

図-3 $\theta(x_2)$ のグラフ